

تأثیر نسبت مولی آهن/باریم بر ترکیب فازی، دمای سنتز، ریزساختار و خواص مغناطیسی هگزافریت باریم

* سید سلمان سید افچه‌ی^۱ و مجتبی جعفریان^{۲*}

۱- گروه مهندسی مواد، دانشکده فنی مهندسی، دانشگاه جامع امام حسین (ع) تهران

۲- دانشگاه آزاد اسلامی، واحد علوم و تحقیقات، باشگاه پژوهشگران جوان و نخبگان، تهران

(دریافت مقاله: ۱۳۹۴/۰۷/۲۶ - دریافت نسخه نهایی: ۱۲/۰۲)

چکیده – در این پژوهش، تأثیر نسبت مولی آهن/باریم بر ترکیب فازی، دمای سنتز، ریزساختار و خواص مغناطیسی هگزافریت باریم تهیه شده به روش فعال‌سازی مکانیکی بررسی شد. به منظور سنتز این ترکیب از نسبت‌های مولی آهن/باریم ۱۲ و ۶ استفاده شد. تأثیر نسبت مولی آهن/باریم، زمان آسیاکاری و دمای عملیات حرارتی در تعیین شرایط پیوسته برای تولید این ترکیب مورد بررسی قرار گرفت. به منظور بررسی‌های فازی، مورفوЛОژی و خواص مغناطیسی محصول نهایی به ترتیب از آزمون پراش اشعه ایکس (XRD)، میکروسکوپ الکترونی روبشی (SEM) و مغناطیس‌سنجه نمونه مرتعش (VSM) استفاده شد. طبق نتایج نسبت مولی آهن/باریم برابر با ۶، زمان ۱۰ ساعت آسیاکاری و دمای ۸۰۰ درجه سانتی‌گراد به عنوان شرایط پیوسته برای تولید این ترکیب به دست آمد. تصاویر میکروسکوپی الکترونی روشنی نشان دهنده ذراتی با مورفو‌لوجی هگزاگونال و تقریباً کروی به ترتیب برای نمونه‌های تهیه شده با نسبت‌های مولی آهن/باریم ۱۲ و ۶ بود. همچنین طبق بررسی‌های مغناطیسی بیشترین مقدار مغناطیش اشباع ($56/48 \text{ emu/g}$) و نیروی وادارندگی ($5247/2 \text{ Oe}$) برای نمونه سنتز شده با نسبت مولی آهن/باریم ۶ حاصل شد.

واژگان کلیدی: هگزافریت باریم، فعال‌سازی مکانیکی، نسبت مولی آهن/باریم، خواص مغناطیسی

Influence of Fe/Ba Molar Ratio on Phase Composition, Synthesis Temperature, Microstructure and Magnetic Properties of Barium Hexaferrite

S. S. Seyyed Afghahi¹ and M. Jafarian^{2*},

1- Department of Materials Engineering, Faculty of Engineering, Imam Hossein University, Tehran, Iran
2- Islamic Azad University, Science and Research Branch, Young Researchers and Elit Club, Tehran, Iran

* مسئول مکاتبات پست الکترونیکی: m.jafarian@srbiau.ac.ir

Abstract: In this study, the effect of Fe/Ba molar ratio was investigated on the phase composition, synthesis temperature, microstructure and magnetic properties of barium hexaferrite prepared via mechanical activation. In order to synthesize this compound, Fe/Ba molar ratios of 12 and 6 were used. The effect of Fe/Ba molar ratio, milling time and heat treatment temperature for achieving the optimal conditions in producing this compound was studied. In order to study the phase, morphology and magnetic properties of the final product, X-ray Diffraction (XRD), Scanning Electron Microscopy (SEM) and Vibrating Sample Magnetometer (VSM) were used respectively. According to the results, Fe/Ba molar ratio of 6, 10 h milling time and temperature of 800 °C were found to be the optimal conditions for producing this compound in a single phase. Scanning electron microscopy images show the hexagonal morphology and almost spherical particles respectively for samples prepared with Fe/Ba molar ratio equal to 12 and 6. Moreover, according to the magnetic studies, the maximum amount of saturation magnetization (56.48 emu/g) and the coercivity force (5247.2 Oe) were obtained for the sample synthesized with Fe/Ba molar ratio of 6.

Keywords: Barium hexaferrite, Mechanical activation, Fe/Ba molar ratio, Magnetic properties

در این بین یکی از روش‌های مرسوم در تولید هگزافریت

باریم نوع M با فرمول شیمیایی $\text{BaFe}_{12}\text{O}_{19}$ دارای جرم مولکولی $23/18 \text{ g/mol}$, دانسیته $5/28 \text{ g/cm}^3$, پارامتر شبکه c برابر با 1112 g/mol آنگستروم و دارای آنیزوتروپی مغناطوکریستالین در راستای محور c می‌باشد. این ترکیب دارای نقطه ذوب 1390°C درجه سانتی‌گراد می‌باشد. همچنین از جمله موادی با رفتار سخت مغناطیسی می‌باشد.

روش فعال‌سازی مکانیکی است که به عنوان روشی ساده و کم هزینه محسوب می‌شود [۱۳-۱۵]. در این روش، پودرها به واسطه وجود سطح بالای مرzedانه‌ها و کسر بالای اتم‌های قرار گرفته در مرzedانه‌ها خواص منحصر به‌فردی در پودر هگزافریت باریم تولیدی ایجاد می‌شود. تاکنون پژوهش‌های متعددی به منظور دست‌یابی به ترکیب تک فاز هگزافریت باریم با این روش صورت گرفته است که در آنها نویسنده‌گان از زمان‌های آسیاکاری $15-80$ ساعت [۱۵-۱۷], دماهای ستبر بالای 1373 کلوین [۱۸-۲۰] و سرعت‌های آسیاکاری بالای 400 دور در دقیقه [۲۲] و [۲۱] استفاده نموده‌اند. با این حال در تمامی حالت‌ها به منظور حذف فازهای میانی و غیرمغناطیسی مانند $\alpha\text{Fe}_3\text{O}_4$ و مونوفریت باریم از دما و زمان‌های بالای آسیاکاری استفاده نموده‌اند.

طبق گزارش‌های صورت گرفته، دمای بالا منجر به رشد افراطی‌های خارج شدن ذرات از حالت تک دامنه خواهد شد. همچنین با وجود اعمال سرعت‌های بالای آسیاکاری، باز هم استفاده از دمای بالا به دلیل استفاده از نسبت‌های بالای آهن/باریم اجتناب‌ناپذیر بوده است، چرا که حضور فازهای

۱- مقدمه

در مقایسه با فریت‌هایی با ساختار اسپینلی و گارنت، فریت با ساختار هگزاگونال به صورت آنیزوتروپیک و دارای میدان مغناطیسی ذاتی بزرگی است [۲ و ۱]. مواد هگزافریتی همانند باریم هگزافریت به واسطه ساختار تقارن هگزاگونال^۱ دارای خواص منحصر به‌فردی نظیر مغناطش اشباع بالا، آنیزوتروپی مغناطوبوری بالا، دمای کوری بالا و پایداری شیمیایی بالایی هستند. این خواص منجر به کاربرد آنها در رسانه‌های ضبط و ثبت اطلاعات، وسایل الکترونیکی، حسگرهای آهرباهای دائمی شده است [۳]. بسته به نوع کاربرد هگزافریت باریم، خواص مختلفی از این ترکیب مورد نیاز است.

روش‌های متعددی برای تولید هگزافریت باریم با ذراتی یکنواخت و ریز (زیر میکرومتر) وجود دارد. روش‌هایی نظیر روش‌های شیمیایی سل-ژل [۴ و ۵], هیدروترمال [۶ و ۷], هم‌رسوبی [۹ و ۸], میسل معکوس^۲ [۱۰] و سونوشیمیایی [۱۱] و روش‌های حالت جامد مانند آلیاژسازی مکانیکی [۱۲] برای ستبر این ترکیب به کار گرفته شده است. روش ستبر این ترکیب تأثیر بهسزایی در تعیین خواص ساختاری و مغناطیسی آن ایفا می‌کند.

در روش حالت جامد محصول صرفاً با مخلوط کردن مواد اولیه و گرمادهی آن شکل می‌گیرد. از جمله مزیت‌های این روش می‌توان به تولید بالا و هزینه تولید پایین آن اشاره نمود. همچنین، این روش دارای مشکلاتی نظیر غیریکنواخت بودن محصول، آلدگی ناشی از ناخالصی‌ها، انجام فرایند در دمای بالا، وجود ذرات درشت با اندازه‌های متفاوت و توزیع غیریکنواخت است که منجر به کاهش و ادارندگی ذاتی می‌شود [۱۲-۱۴].

به ترتیب ۱، ۲۰۰ دور در دقیقه و دو ساعت در نظر گرفته شد. همچنین از مخلوط پودری اکسید باریم و اکسید آهن که هر دو محصول شرکت مرک و با درجه خلوص ۹۹/۹۹ درصد بودند، در تمامی آزمون‌ها استفاده شد. با توجه به نسبت‌های مولی مواد اولیه (جدول ۱) پودرهای توزین و بعد از قرارگیری در آسیا گلوله‌ای سیارهای مدل Retsch PM100 که حاوی دو محفظه فولادی و ۱۱ گلوله از جنس فولاد زنگ نزن با میانگین قطر ۱۵/۷۵ میلی‌متر بود، با سرعت ۳۰۰ دور در دقیقه، در زمان‌های مختلف آسیا شدند. در تمام شرایط به میزان یک درصد وزنی اتانول به عنوان عامل کنترل کننده فرایند PCA به مخلوط پودری اضافه شد. عامل کنترل کننده فرایند اغلب به منظور خشی‌سازی نیروی محرکه جوش سرد حین آلیاژسازی مکانیکی استفاده می‌شود. با جذب این عامل روی سطح ذرات به علت کاهش تنش سطحی مواد جامد، از جوش سرد بیش از حد و انباشتگی ذرات ممانعت می‌شود. آسیا مورد نظر دارای دو حرکت دورانی حول محور محفظه‌های فولادی و حول محور صفحه چرخان تعییه شده در زیر محفظه‌های فولادی بود. به این ترتیب در اثر اصطکاک و ضربه ایجاد شده بین گلوله‌ها به پودر و دیواره محفظه آسیا، عمل آسیا انجام گرفت. برای جلوگیری از گرمای اضافی پس از هر یک ساعت آسیاکاری، دستگاه به مدت ۱۵ دقیقه خاموش شد. پس از انجام عملیات آسیاکاری، به منظور حذف آلودگی‌های Fe/Cr ۳۰ میلی‌لیتر محلول حاوی دو میلی‌لیتر اسید کلریدریک، پنج میلی‌لیتر آب اکسیژنه و ۲۳ میلی‌لیتر آب مقطور تهیه شد و مخلوط پودری به مدت ۶ ساعت در دمای اتاق در این محلول هم‌زده شد [۲۶]. در نهایت مخلوط پودری در دماهای مختلف و زمان ۲ ساعت با نرخ گرمادهی پنج درجه سانتی‌گراد در دقیقه عملیات حرارتی شد. مراحل مختلف سنتز هگزافریت باریم به روش فعال‌سازی مکانیکی در شکل ۱ نشان داده شده است.

بررسی فازی پودرهای سنتز شده با استفاده از دستگاه پراش پرتتو ایکس^{*} (XRD) مدل 300 XMD (شرکت Unisantis، سوییس) در محدوده ۱۰-۷۰ درجه صورت گرفت. برای بررسی مورفولوژی پودر از دستگاه

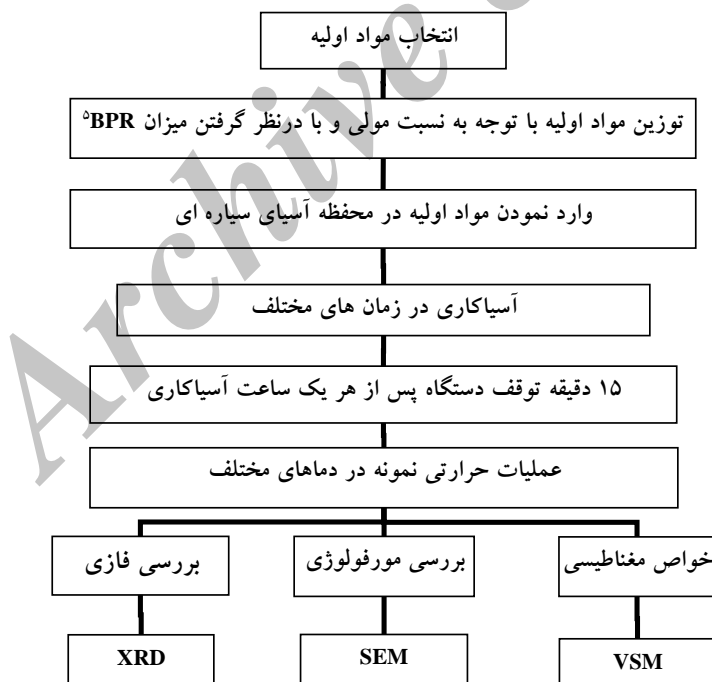
غیرمغناطیسی بر خواص مغناطیسی و جذب امواج تأثیر می‌گذارد. یکی از متغیرهای مهم در سنتز هگزافریت باریم نسبت مولی آهن/باریم است، چرا که در صورت عدم درنظر گرفتن نسبت مناسب، فازهای غیرمغناطیسی نظیر $\alpha\text{-Fe}_2\text{O}_3$ و BaFe_2O_4 در ترکیب نهایی حضور خواهد داشت و همین مسئله منجر به رقت مغناطیسی می‌شود [۲۴-۲۵]. در روش فعال‌سازی مکانیکی، تماس سطوح جدید ایجاد شده، کاهش اندازه ذرات و ذخیره کرنش در ذرات منجر به کاهش دمای واکنش می‌شود. همچنین سنتز غیراستوکیومتری این ترکیب نه تنها منجر به القای عیوب شبکه‌ای و افزایش سیستیک نفوذ می‌شود بلکه منجر به کاهش دمای عملیات حرارتی به منظور سنتز هگزافریت باریم نیز خواهد شد، چرا که در صورت سنتز این ترکیب در دماهای بالا افزایش رشد ذرات منجر به کاهش خواص مغناطیسی می‌شود [۲۳-۲۵]. برای این منظور در این پژوهش چگونگی سنتز این ترکیب با تغییر نسبت مولی آهن/باریم بررسی شد و عملیات حرارتی در کمترین دما و زمان ممکن صورت گرفت تا نیازی به عملیات آسیاکاری مجدد پس از سنتز پودر نداشته همچنین حداقل میزان نسبت مولی آهن/باریم برای سنتز ترکیب تک فاز هگزافریت باریم به روش آلیاژسازی مکانیکی تعیین شد.

۲- مواد و روش تحقیق

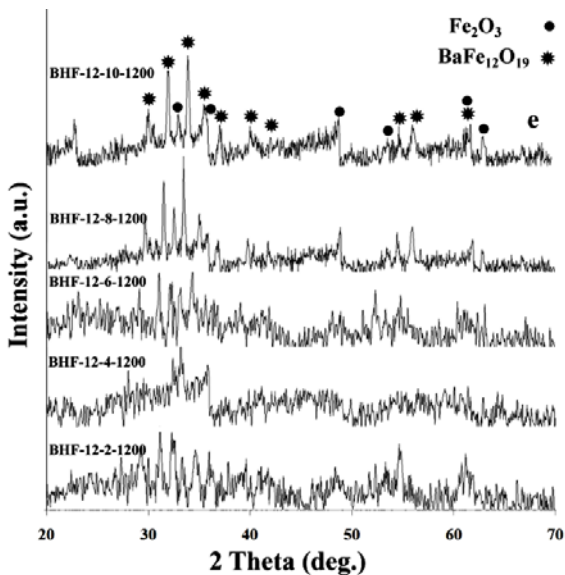
در این پژوهش به منظور سنتز پودر هگزافریت باریم به روش فعال‌سازی مکانیکی از مخلوط مواد اولیه شامل اکسید باریم (BaO) و اکسید آهن (Fe_2O_3) با نسبت‌های مولی ۶ و ۶ استفاده شد. در ابتدا شرایط بهینه از نظر مدت زمان آسیاکاری (برای نسبت مولی آهن/باریم برابر با ۱۲) و دمای بازپخت (برای نسبت مولی آهن/باریم برابر با ۶) پودر آسیاکاری شده برای سنتز هگزافریت باریم تعیین شد. برای این منظور آزمون‌های مختلفی طراحی و انجام شد که مقادیر متغیرهای مختلف در جدول ۱ آورده شده است. در تمامی آزمون‌ها میزان نسبت وزنی گلوله به پودر، سرعت آسیاکاری و زمان بازپخت مقادیر ثابت و

جدول ۱- شرایط آزمون‌های مختلف برای سنتز پودر هگزافریت باریم

آزمون‌ها	نسبت مولی Fe/Ba	زمان آسیاکاری (ساعت)	دماهی عملیات حرارتی (درجه سانتی‌گراد)	کد نمونه
آزمون ۱	۱۲	۲	۱۲۰۰	BHF-12-2-1200
آزمون ۲	۱۲	۴	۱۲۰۰	BHF-12-4-1200
آزمون ۳	۱۲	۶	۱۲۰۰	BHF-12-6-1200
آزمون ۴	۱۲	۸	۱۲۰۰	BHF-12-8-1200
آزمون ۵	۱۲	۱۰	۱۲۰۰	BHF-12-10-1200
آزمون ۶	۱۲	۱۲	۱۲۰۰	BHF-12-12-1200
آزمون ۷	۱۲	۱۴	۱۲۰۰	BHF-12-14-1200
آزمون ۸	۱۲	۱۶	۱۲۰۰	BHF-12-16-1200
آزمون ۹	۶	۱۰	۱۱۰۰	BHF-6-10-1100
آزمون ۱۰	۶	۱۰	۱۰۰۰	BHF-6-10-1000
آزمون ۱۱	۶	۱۰	۹۰۰	BHF-6-10-900
آزمون ۱۲	۶	۱۰	۸۰۰	BHF-6-10-800
آزمون ۱۳	۶	۱۰	۷۰۰	BHF-6-10-700



شکل ۱- روند نمای تهیه هگزافریت باریم به روش فعال‌سازی مکانیکی



شکل ۲- الگوهای پراش پرتو ایکس نمونه‌های سنتز شده با نسبت مولی آهن/باریم برابر با ۱۲

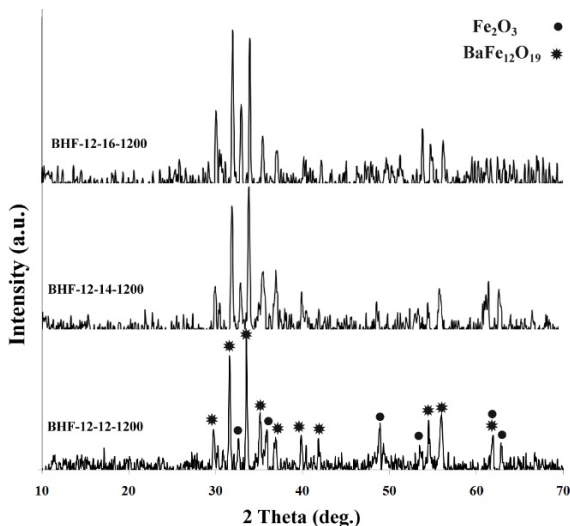
آسیاکاری مختلف نشان می‌هد که میزان انرژی مکانیکی و گرمایی وارد شده به نمونه برای غلبه بر سد انرژی به دلیل تولید نانوساختارهای هگزافریت باریم حتی بعد از ۱۰ ساعت آسیاکاری و عملیات حرارتی در دمای ۱۲۰۰ درجه سانتی‌گراد تأمین نمی‌شود. در روند آلیاژسازی مکانیکی، اصولاً بین اجزاء، نفوذ اتفاق می‌افتد و در صورت مناسب بون شرایط، محلول‌های جامد شکل می‌گیرند. انتظار می‌رود که میزان قابلیت انجام جامد با افزایش زمان آسیاکاری همچنان که نفوذ پیشرفت می‌کند افزایش یابد. بهمین منظور با توجه به کافی نبودن میزان انرژی وارد به مخلوط مواد اولیه، زمان آسیاکاری به مدت زمان‌های ۱۴، ۱۶ و ۱۸ ساعت افزایش داده شد (شکل ۳) و پس از نمونه‌گیری، نمونه‌ها در دمای ۱۲۰۰ درجه سانتی‌گراد به مدت ۲ ساعت کلینه شدند.

اما همان‌طور که ملاحظه می‌شود با افزایش زمان آسیاکاری نه تنها از میزان فاز هماتیت کاسته نمی‌شود بلکه شدت قله‌های مربوط به این فاز (هماتیت) افزایش می‌یابد. در مطالعات صورت گرفته در رابطه با سنتز ترکیب تک فاز هگزافریت باریم گزارش شده است که حضور فاز باقی‌مانده هماتیت در

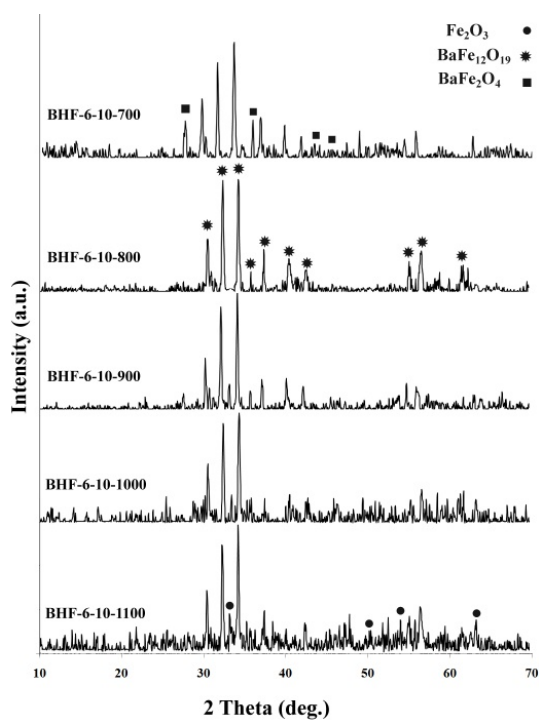
میکروسکوپی الکترونی روبشی^۶ (SEM) مدل-VEGA//TESCAN (SEM) (شرکت LMU HOLDING TESCAN ORSAY، جمهوری چک) استفاده شد. در نهایت به منظور بررسی ویژگی‌های مغناطیسی نمونه‌های سنتز شده از دستگاه مغناطیسی سنج نمونه مرتتعش (VSM 7400، شرکت Lake Shore، آمریکا) استفاده شد.

۳- نتایج و بحث

۱- بررسی فازی با استفاده از پراش پرتو ایکس شکل ۲ نشان‌دهنده نتایج الگوهای پراش نمونه‌های آسیاکاری شده در زمان‌های ۲، ۴، ۶، ۸ و ۱۰ ساعت است. با توجه به فرمول کلی ترکیب هگزافریت باریم ($\text{BaFe}_{12}\text{O}_{19}$) از نسبت مولی Fe/Ba برابر با ۱۲ برای سنتز این پودرها استفاده شد. پس از انجام عملیات آسیاکاری تمامی نمونه‌ها در شرایطی یکسان در دمای ۱۲۰۰ درجه سانتی‌گراد به مدت ۲ ساعت و با نرخ گرمایی ۵ درجه سانتی‌گراد در دقیقه عملیات حرارتی شدند. همان‌طور که ملاحظه می‌شود در الگوهای مربوط به نمونه‌هایی که در مدت زمان‌های ۲، ۴ و ۶ ساعت آسیاکاری شده‌اند، شدت قله‌های مربوط به فاز هگزافریت باریم حتی پس از عملیات حرارتی بسیار کم است و این به دلیل درجه بلورینگی پایین پودرهای تولیدی است. از طرفی در تمامی حالات حضور قله‌های مربوط به فاز هماتیت در الگوی پراش ملاحظه می‌شود، اما با افزایش زمان آسیاکاری به مدت زمان‌های ۸ و ۱۰ ساعت از شدت قله مربوط به فاز هماتیت کاسته می‌شود و شدت قله‌های مربوط به فاز هگزافریت باریم افزایش می‌یابد. در این حالت نیز نمونه‌ها حاوی مخلوطی از فازهای هگزافریت باریم و اکسید آهن (هماتیت) و قله‌های غالب مربوط به ترکیب هگزافریت باریم است. فاز هماتیت با الگوی پراش اشعه ایکس کارت استاندارد به شماره ۰۰۱-۱۰۵۳ با گروه فضایی R-3c و با ساختار بلوری رومبوهدرال مطابقت داده شد. همچنین فاز هگزافریت باریم با کارت استاندارد به شماره ۰۰۷-۰۰۷۶ و ساختار بلوری هگزاگونال کاملاً مطابقت داشت. حضور فاز هماتیت در الگوهای پراش در شرایط



شکل ۳- الگوهای پراش پرتو ایکس نمونه‌های سنتز شده با نسبت مولی آهن/باریم برابر با ۱۲ با افزایش زمان آسیاکاری



شکل ۴- الگوهای پراش پرتو ایکس نمونه‌های سنتز شده با نسبت مولی آهن/باریم برابر با ۶ با تغییر دمای عملیات حرارتی

الگوهای پراش اشعه ایکس به واسطه دما و زمان پایین واکنش است [۱۹-۲۲]. از طرفی گزارش شده است که فرایند آسیاکاری منجر به تشکیل لایه غنی از Fe_2O_3 بر روی سطح ذرات می‌شود و این لایه با افزایش زمان آسیاکاری غنی‌تر از فاز هماتیت می‌شود [۲۲-۲۵]. همان‌طور که مشاهده شد با افزایش زمان آسیاکاری به بیشتر از ۱۰ ساعت، افزایش شدت قله‌های مربوط به فاز هماتیت رخ داد که در توافق خوبی با سایر پژوهش‌های صورت گرفت. یکی از مهم‌ترین عوامل در سنتز هگزافریت باریم نسبت مولی آهن/باریم است. اصولاً این فاز به صورت کاملاً غیراستوکیومتری سنتز می‌شود. سنتز غیراستوکیومتری این فاز نه تنها منجر به القای عیوب شبکه‌ای بلکه منجر به کاهش دمای سنتز این ترکیب می‌شود. با توجه به تولید هگزافریت باریم پس از ۱۰ ساعت آسیاکاری و عملیات حرارتی در در دمای ۱۲۰۰ درجه سانتی گراد سعی شد تا با کاهش نسبت مولی آهن/باریم چگونگی سنتز این ترکیب در دماهای پایین‌تر مورد بررسی قرار گیرد. شکل ۴ نشان‌دهنده نتایج الگوهای پراش اشعه ایکس نمونه‌های تهیه شده در شرایطی است که میزان نسبت مولی آهن/باریم ۶ درنظر گرفته شد و پس از ۱۰ ساعت آسیاکاری مخلوط پودری نمونه‌ها در دماهای مختلف به مدت دو ساعت عملیات حرارتی شدند. همان‌طور که در الگوهای پراش اشعه ایکس ملاحظه می‌شود در صورت کلسینه نمودن مخلوط پودری در دمای ۱۱۰۰ درجه سانتی گراد مجدداً قله‌های مربوط به فاز هماتیت مشاهده می‌شود اما نکته قابل توجه تشکیل فاز هگزافریت باریم نوع M در این دما پس از ۱۰ ساعت آسیاکاری با نسبت مولی آهن/باریم ۶ است. اما نکته دیگر که از نتایج الگوهای پراش اشعه ایکس قابل حصول است کاهش درجه بلورینگی و به تبع آن کاهش شدت قله‌های مربوط به فاز هماتیت است که با کاهش هر چه بیشتر دما و کلسینه نمودن مخلوط پودری تا دمای ۸۰۰ درجه سانتی گراد از مقدار آن کاسته می‌شود. چرا که جوانه‌زنی و رشد فاز هماتیت در این صورت به تعویق می‌افتد و در نتیجه در الگوهای پراش اشعه ایکس ظاهر

همان طور که ملاحظه می شود در نمونه BHF-12-10-1200 ذرات دارای مورفولوژی چندوجهی با رئوس کاملاً مشخص و با توزیع یکنواخت است. میانگین اندازه ذرات در حدود یک میکرومتر است. رشد افراطی ذرات به واسطه دمای بالا کاملاً مشخص است. در نمونه 800-10-6-BHF تشکیل ذراتی با مورفولوژی تقریباً کروی و در برخی قسمت ها به صورت چندوجهی با میانگین اندازه ذرات در حدود ۲۵۰ تا ۳۳۰ نانومتر ملاحظه می شود. همچنین در بعضی مناطق نیز تراکم و انباستگی ذرات با اندازه های مختلف از ذرات به چشم می خورد. اصولاً ذرات به دلیل کاهش انرژی سطحی در کنار یکدیگر تجمع می نمایند.

۳-۳- بررسی خواص مغناطیسی

گشتاور مغناطیسی برای ترکیب هگزافریت باریم از طریق رابطه (۱) و حاصل جمع گشتاورهای مغناطیسی یون های آهن در مکان های بلور و گرافی مختلف محاسبه می شود:

$$m = \overline{2a} + \overline{2b} + \overline{12k} + \leftarrow \overline{4f_1} + \leftarrow \overline{4f_2} \quad (1)$$

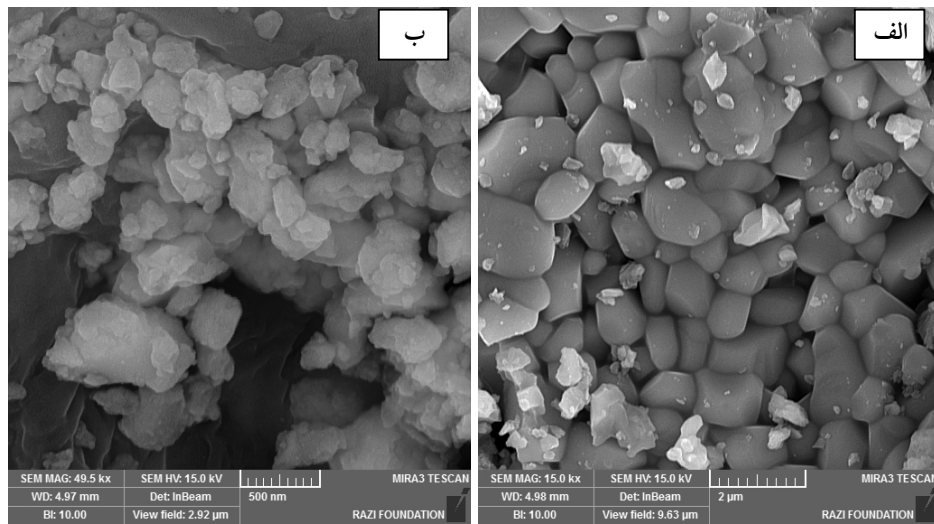
مکان های با اسپین پایین مانند $4f_1$ و $4f_2$ هر کدام بوسیله دو یون آهن اشغال می شوند، در حالی که مکان هایی با اسپین بالا همانند $2a$ و $2b$ هر کدام توسط یک یون آهن اشغال می شوند و در اساس این موقعیت $12k$ توسط ۶ یون آهن اشغال می شود. بر اساس این مدل ساده، گشتاور مغناطیسی فاز خالص هگزافریت باریم $M_B = 20\mu_B = 4 \times 5\mu_B = 20\mu_B$ است، چرا که یون های Ba^{+2} دارای هیچ گشتاور مغناطیسی نیستند. در این صورت گشتاور مغناطیسی کل μ برای ترکیب هگزافریت باریم تنها به واسطه گشتاورهای مغناطیسی خشی نشده یون های آهن است. شکل ۶ نشان دهنده حلقه پسماند نمونه های هگزافریت باریم سنتز شده با نسبت های مولی Fe/Ba برابر با ۱۲ و ۶ در ماهای ۱۲۰۰ و ۸۰۰ درجه سانتی گراد است. طبق نتایج نمونه ها دارای میدان پسماند زدای بالایی هستند. مقادیر مغناطش اشباع (M_s) و میدان پسماند زدا (H_c) مربوط به نمونه های سنتز شده در جدول ۲

نمی شود. در دمای 80° درجه سانتی گراد تمامی قله های موجود در زوایای $30/37$ ، $32/29$ ، $34/19$ ، $40/41$ ، $37/12$ ، $56/59$ و $67/36$ درجه مربوط به ترکیب تک فاز هگزافریت باریم است که کاملاً با الگوی مرجع به شماره کارت استاندارد ۰۲۷۶-۰۵۷ مطابقت دارد. همان طور که ملاحظه می شود در شرایطی که مخلوط مواد اولیه کاملاً به صورت غیر استوکیومتری بوده، با کاهش دمای کلسینه شدن ترکیب تک فاز هگزافریت باریم بدون هیچ گونه فاز میانی تشکیل شد.

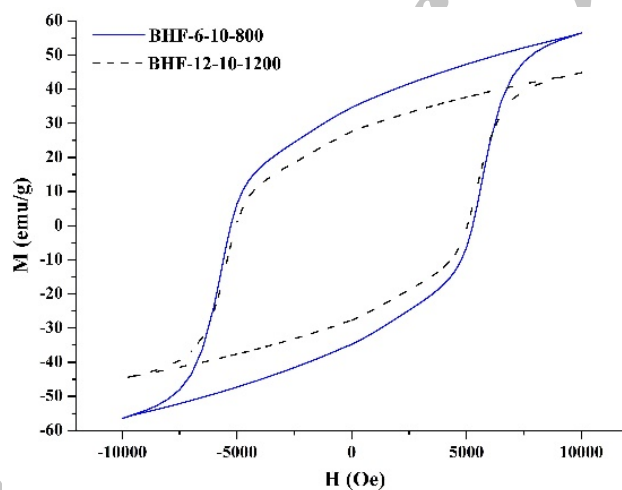
این در حالی است که در دمای 70° درجه سانتی گراد شرایط تغییر کرده است و با توجه به کافی نبودن دما برای نفوذ اتم ها، ترکیب تک فاز هگزافریت باریم حاصل نشده، قله های مربوط به فاز مونوفریت باریم در الگوی پراش قابل مشاهده است. گزارش شده است در صورتی که میزان آهن کمتر و میزان کربنات باریم بیشتر از میزان لازم برای تشکیل ترکیب تک فاز هگزافریت باریم باشد، نرخ تشکیل فاز مونوفریت باریم در ماهای پاییں و فاز هگزافریت باریم در ماهای بالا افزایش می یابد. این نتیجه در توافق خوبی با نتایج گزارش شده توسط دیگر پژوهشگران است [۲۱-۲۴]، چرا که با واکنش هماتیت با مونوفریت باریم منجر به تشکیل هگزافریت باریم می شود. پس زمانی که مقدار هماتیت تولیدی به منظور واکنش با مونوفریت باریم برای تولید ترکیب تک فاز هگزافریت باریم، کم باشد، قله های مربوط به مونوفریت باریم ظاهر می شوند. می توان این چنین نتیجه گرفت در شرایطی که نسبت مولی آهن / باریم برابر با ۶ باشد تمامی فاز هماتیت با مونوفریت باریم واکنش می دهد و در صورتی که مقدار نسبت مولی آهن / باریم مولی آهن / باریم بیشتر باشد، قله های مربوط به فاز هماتیت ظاهر می شوند. همچنین در صورتی که مقدار نسبت مولی آهن / باریم کمتر از ۶ باشد قله های مربوط به فاز مونوفریت باریم واکنش نکرده در الگوهای پراش ظاهر خواهد شد.

۳-۲- بررسی ریز ساختاری

شکل ۵ نشان دهنده تصاویر میکروسکوپی الکترونی رو بشی از نمونه های BHF-6-10-800 و BHF-12-10-1200 است.



شکل ۵- تصاویر میکروسکوپی الکترونی رویشی از نمونه‌های: الف) BHF-12-10-1200 و ب) BHF-6-10-800



شکل ۶- حلقه پسماند نمونه هگزافریت باریم سنتز شده با نسبت‌های مولی آهن/باریم برابر با ۱۲ و ۶

جدول ۲- مقادیر مربوط به متغیرهای مغناطیسی نمونه‌های سنتز شده با نسبت مولی آهن/باریم برابر با ۱۲ و ۶

M_r/M_s	$(\text{emu/g})M_r$	$(\text{Oe})H_c$	$(\text{emu/g})M_s$	نمونه
۰/۶۱	۳۴/۶۵	۵۲۴۷/۲	۵۶/۴۸	BHF-6-10-800
۰/۶۲	۲۷/۶۵	۴۹۹۴	۴۴/۸۲	BHF-12-10-1200

به عنوان یک ماده سخت مغناطیسی است. مقادیر مغناطش اشباع آورده شده است. میدان پسماندزدای بالای پودر خالص هگزافریت باریم به دلیل ناهمسانگردی قوی در راستای محور c است. با توجه به مساحت زیاد حلقه پسماند، نمونه سنتز شده هگزافریت باریم مغناطش اشباع و نیروی وادارندگی به ترتیب

۴- نتیجه‌گیری

در این پژوهش سنتز پودر هگزافریت باریم نوع M به روش فعال‌سازی مکانیکی صورت گرفت. برای تولید ترکیب تک فاز این ماده مغناطیسی از نسبت وزنی گلوله به پودر ۱:۲۰، زمان آسیاکاری ۱۰ ساعت، دمای کلسیناسیون ۸۰۰ درجه سانتی‌گراد و مدت زمان کلسیناسیون ۲ ساعت استفاده شد. طبق نتایج میکروسکوپی الکترونی رویشی مورفو‌لوزی ذرات هگزافریت باریم سنتز شده با نسبت مولی آهن/باریم برابر ۶ به صورت تقریباً کروی و با اندازه‌ای در حدود ۲۵۰-۳۳۰ نانومتر بودند. بررسی خواص مغناطیسی نمونه تولیدی حاکی از مقادیر مغناطش اشباع و نیروی وادارندگی به ترتیب $56/48 \text{ emu/g}$ و $5247/2 \text{ Oe}$ بود که طبق مساحت بالای منحنی پسماند زدا نشان‌دهنده نمونه‌ای با رفتار مغناطیسی سخت بود. به علاوه نسبت $M_r/M_s = 61/6$ برای نمونه سنتز شده با نسبت مولی Fe/Ba برابر ۶ به دست آمد که این مقدار بسیار به مقدار برای جهت‌گیری تصادفی ذرات تک دامنه نزدیک است.

بررسی خواص مغناطیسی نمونه تولیدی حاکی از مقادیر مغناطش اشباع و نیروی وادارندگی به ترتیب $56/48 \text{ emu/g}$ و $5247/2 \text{ Oe}$ بود که طبق مساحت بالای منحنی پسماند زدا نشان‌دهنده نمونه‌ای با رفتار مغناطیسی سخت بود. به علاوه نسبت $M_r/M_s = 61/6$ برای نمونه سنتز شده با نسبت مولی Fe/Ba برابر ۶ به دست آمد که این مقدار بسیار به مقدار نظری وادارندگی برای هر دو حالت نسبت‌های مولی آهن/باریم در جدول ۲ آورده شده است.

واژه‌نامه

1. magnetoplumbite
2. microemulsion
3. process control agent

4. x-ray diffraction
5. ball to powder weight ratio
6. scanning electron microscopy

مراجع

1. Ozeri, H. S., Kucuk, I., and Zkan, H. O., "Improvement in Magnetic Properties of La Substituted BaFe₁₂O₁₉ Particles Prepared with an Unusually Low Fe/Ba Molar Ratio", *Journal of Magnetism and Magnetic Materials*, Vol. 323, pp. 1799-1804, 2011.
2. Manikandan, M., and Venkateswaran, C., "Effect of High Energy Milling on the Synthesis Temperature, Magnetic and Electrical Properties of Barium Hexagonal Ferrite", *Journal of Magnetism and Magnetic Materials*, Vol. 358-359, pp. 82-86, 2014.
3. Pullar-Robert, C., "Hexagonal Ferrites: A Review of the Synthesis, and Applications of Hexaferrite Ceramics Properties", *Progress in Materials Science*, Vol. 57, pp. 1191-1334, 2012.
4. Xu, G., Ma, H., Zhong, M., Zhou, J., Yue, Y. and He, Z., "Influence of pH on Characteristics of BaFe₁₂O₁₉ Powder Prepared by Sol-Gelauto-Combustion", *Journal of Magnetism and Magnetic Materials*, Vol. 301, pp. 383-388, 2006.
5. محمد شریفی، ا. و قاسمی، ع.، "تهیه نانوذرات هگزافریت با روش سل-ژل"، دومنین هماشی مشترک انجمن مهندسین متالورژی و انجمن ریخته‌گری ایران، کرج، دانشگاه آزاد اسلامی واحد کرج، ۱۳۸۷.
6. Zhao, L., Lv, X., Wei, Y., Ma, C., and Zhao, L.,

- "Hydrothermal Synthesis of Pure BaFe₁₂O₁₉ Hexaferrite Nanoplatelets under High Alkaline System", *Journal of Magnetism and Magnetic Materials*, Vol. 332, pp. 44-47, 2013.
7. Xu, X., Park, J., Hong, Y. K., and Lane, A. M., "Synthesis and Characterization of Hollow Mesoporous BaFe₁₂O₁₉ Spheres", *Journal of Solid State Chemistry*, Vol. 222, pp. 84-89, 2015.
8. Rashad, M. M., and Ibrahim, I. A., "Improvement of The Magnetic Properties Of Barium Hexaferrite Nanopowders Using Modified Co-Precipitation Method", *Journal of Magnetism and Magnetic Materials*, Vol. 323, pp. 2158-2164, 2011.
۹. شیخی مقدم، ک. و عطایی، ا.، "بررسی اثر آسیای کم انرژی میانی بر مشخصات ذرات بسیار ریز مغناطیسی هگزافریت با ریم تهیه شده به روش هم رسویی"، اولین همایش مشترک انجمن مهندسین متالورژی و انجمان ریخته گری ایران، اصفهان، شرکت ذوب آهن اصفهان، ۱۳۸۶.
10. Pillai, V., Kumar, P., Multani, M. S., and Shah, D. O., "Structure and Magnetic Properties of Nanoparticles of Barium Ferrite Synthesized using Microemulsion Processing", *Colloids and Surfaces A: Physicochemical and Engineering Aspects*, Vol. 80, pp. 69-75, 1993.
11. Nabiyouni, G., Ghanbari, D., Yousofnajad, A., and Seraj, M., "Asonochemical-Assisted Method for Synthesis of BaFe₁₂O₁₉ Nanoparticles and Hard Magnetic Nanocomposites", *Journal of Industrial and Engineering Chemistry*, Vol. 20, pp. 3425-3429, 2014.
12. Qiu, J., Shen, H., and Gu, M., "Microwave Absorption of Nanosized Barium Ferrite Particles Prepared using High-Energy Ball Milling", *Powder Technology*, Vol. 154, pp. 116-119, 2005.
13. Dursun, S., Topkaya, R., Akdogan, N., and Alkoy, S., "Comparison of the Structural and Magnetic Properties of Submicron Barium Hexaferrite Powders Prepared by Molten Salt and Solid State Calcinations Routes", *Ceramics International*, Vol. 38, pp. 3801-3806, 2012.
14. Mendonca Almeida, R., Paraguassu, W., SoaresPires, D., Ribeiro Correa, R., and De-Araujo Paschoal, C. W., "Impedance Spectroscopy Analysis of BaFe₁₂O₁₉ M-Type Hexaferrite Obtained by Ceramic Method", *Ceramics International*, Vol. 35, pp. 2443-2447, 2009.
15. Martirosyan, K. S., Galstyan, E., Hossain, S. M., Wang, Y. J., and Litvinov, D., "Barium Hexaferrite Nanoparticles: Synthesis and Magnetic Properties", *Materials Science and Engineering B*, Vol. 176, pp. 8-13, 2011.
16. Mendoza-Suarez, G., Matutes-Aquino, J. A., Escalante-Garcia, J. I., Mancha-Molinar, H., Rios-Jara, D., and Johal, K. K., "Magnetic Properties and Microstructure of Ba-Ferrite Powders Prepared by Ball Milling", *Journal of Magnetism and Magnetic Materials*, Vol. 223, pp. 55-62, 2001.
17. Xu, P., Han, X., and Wang, M., "Synthesis and Magnetic Properties of BaFe₁₂O₁₉ Hexaferrite Nanoparticles by a Reverse Microemulsion Technique", *The Journal of Physical Chemistry C*, Vol. 111, pp. 5866-5870, 2007.
18. Nikkhah-Moshaie, R., SeyyedEbrahimi, S. A., and Ataei, A., "Influence of Stoichiometry on Phase Constitution, Thermal Behavior and Magnetic Properties of Ba-Hexaferrite Particles Prepared via SHS Route", *Materials Science and Engineering A*, Vol. 473, pp. 244-248, 2008.
19. Sharma, P., Rocha, R. A., De-Medeiros, S. N., and Paesano, A., "Structural and Magnetic Studies on Barium Hexaferrites Prepared by Mechanical alloying and Conventional Route", *Journal of Alloys and Compounds*, Vol. 443, pp. 37-42, 2007.
20. Nowosielski, R., Babilas, R., Dercz, G., Pajak, L., and Wrona, J., "Structure and Properties of Barium Ferrite Powders Prepared by Milling and Annealing", *Archives of Materials Science and Engineering*, Vol. 28, pp. 735-742, 2007.
21. Stefan, I., Chiriac, R., Nicolicescu, C., and Ciobanu, M., "Research on Synthesis of Barium Hexaferrite Powders Processed by Mechanical Alloying", *Journal of Optoelectronics and Advanced Materials*, Vol. 13, pp. 883-886, 2011.
22. Benito, G., Morales, M. P., Requena, J., Raposo, V., Vazquez, M., and Moya, J. S., "Barium Hexaferrite Monodispersed Nanoparticles Prepared by the Ceramic Method", *Journal of Magnetism and Magnetic Materials*, Vol. 234, pp. 65-72, 2001.
23. Babu, V., and Padaikathan, P., "Structure and Hard Magnetic Properties of Barium Hexaferrite with and without La₂O₃ Prepared by Ball Milling", *Journal of Magnetism and Magnetic Materials*, Vol. 241, pp. 85-88, 2002.
24. Tan, G., and Chen, X., "Structure and Multiferroic Properties of Barium Hexaferrite Ceramics", *Journal of Magnetism and Magnetic Materials*, Vol. 327, pp. 87-90, 2013.
25. Bsoul, I., and Mahmood, S. H., "Magnetic and Structural Properties of BaFe_{12-x}Ga_xO₁₉ Nanoparticles", *Journal of Alloys and Compounds*, Vol. 489, pp. 110-114, 2010.
26. Manafi, S., and Jafarian, M., "Synthesis of Perovskite CaTiO₃ Nanopowders with Different Morphologies by Mechanical Alloying without Heat Treatment", *International Journal of Physical Sciences*, Vol. 8, pp. 1277-1283, 2013.